

## СВОБОДНЫЙ МАГНИТНЫЙ ПОЛЯРОН В ПОЛУПРОВОДНИКАХ С ВЫРОЖДЕННОЙ ЗОНОЙ

Берковская Ю. Ф., Гельмонт Б. Л., Цидильковский Э. И.

Рассмотрена задача о магнитном поляроне, возникающем благодаря обменному взаимодействию магнитных ионов со свободной дыркой, энергетический спектр которой имеет точку четырехкратного вырождения в центре зоны Бриллюэна. В рамках приближения среднего поля определена область температур, в которой может существовать свободный полярон. Наиболее ярко эффекты, связанные с вырождением зон, проявляются в пределе малого отношения масс легкой и тяжелой дырок. Направление эффективного обменного поля, действующего на магнитные ионы, меняется от точки к точке в отличие от простой зоны с  $s$ -симметрией, в которой эффективное поле направлено вдоль спина электрона. Температура перехода в поляронное состояние в зоне с точкой вырождения ниже, чем в простой зоне. В то же время размер и полный магнитный момент полярона в обоих случаях оказываются близкими по величине.

1. *Введение.* В полумагнитных полупроводниках сильное обменное взаимодействие свободных носителей заряда с магнитными ионами приводит к заметной взаимной ориентации их спинов. Такое выстраивание особенно сильно проявляется во внешнем магнитном поле, но и в отсутствие внешнего поля поляризации магнитных ионов вызывает расщепление спиновых состояний электрона и дырки, а носитель заряда, в свою очередь, поддерживает поляризованное состояние окружающих его магнитных ионов. Расчет образующегося таким образом магнитного полярона был сделан для простой зоны с изотропным параболическим спектром [1, 2]. В этом случае эффективное магнитное поле, действующее на магнитный ион, направлено вдоль спина электрона, ориентация которого постоянна в пространстве. Однако валентная зона полупроводников со структурой алмаза или цинковой обманки имеет точку вырождения в центре зоны Бриллюэна. При наличии в спектре точки вырождения спин частицы уже не является хорошим квантовым числом. Энергия свободной дырки зависит от взаимной ориентации ее спина и импульса [3]. В результате эффективное магнитное поле, возникающее вследствие обменного взаимодействия между дыркой и ионом, меняется от точки к точке в области вокруг дырки как по величине, так и по направлению. В [4] была рассмотрена задача о влиянии магнитополяронного эффекта на состояния акцептора в полумагнитном полупроводнике при нулевой температуре. Было показано, что в результате обменного взаимодействия дырки с магнитными ионами происходит неэквидистантное расщепление четырехкратно вырожденного основного состояния акцептора по проекции полного момента.

В данной статье рассмотрена задача о магнитном поляроне, который образуется при взаимодействии свободной дырки с магнитными моментами ионов в полумагнитном полупроводнике. Получена зависимость термодинамических характеристик свободной энергии, энергии, полного момента, характерного размера полярона от температуры. Задача рассмотрена для двух предельных случаев: очень малого отношения масс легкой и тяжелой дырок  $\gamma = m_l/m_h = 0$  и  $\gamma = 1$ . Зона с  $\gamma = 1$  эквивалентна простой зоне без точки вырождения, в которой дырка может иметь лишь две проекции на ось квантования  $\pm 3/2$ . Естественно, что в этом случае результаты соответствуют полученным в [1] для полярона

на свободном электроде. При  $\gamma \neq 1$  внутренняя структура полярона оказывается более сложной, чем у полярона в простой зоне: основному состоянию соответствует неоднородная поляризация магнитных ионов вокруг дырки. Однако температурные свойства магнитного полярона при любом отношении масс похожи. Количественные различия между простой и сложной зонами сильнее всего сказываются при сравнении двух предельных случаев  $\gamma=1$  и  $\gamma=0$ .

2. *Температурная зависимость свободной энергии и других характеристик полярона.* Энергетический спектр дырки вблизи точки вырождения описывается гамильтонианом Латтинжера [3], который мы запишем в виде суммы двух операторов, действующих на составляющие волновой функции дырки с легкой и тяжелой массой соответственно:

$$\hat{\Lambda}^{(h)}(\hat{p}) = 1/2 [(\hat{p}\hat{J}) \cdot \hat{p}^{-2} - 1/4], \quad \hat{\Lambda}^{(l)}(\hat{p}) = 1 - \hat{\Lambda}^{(h)}(\hat{p}), \quad (1)$$

$$\mathcal{H}_L = \frac{\hat{p}^2}{2m_h} \hat{\Lambda}^{(h)}(\hat{p}) + \frac{\hat{p}^2}{2m_l} \hat{\Lambda}^{(l)}(\hat{p}). \quad (2)$$

Здесь  $\hat{J}_x, \hat{J}_y, \hat{J}_z$  — числовые матрицы  $4 \times 4$ , соответствующие моменту  $J=3/2$ . Гамильтониан (2) написан в сферическом приближении.

Гамильтониан обменного взаимодействия дырки с магнитными ионами имеет вид

$$\hat{V}_{ex} = \frac{\beta}{3} \sum_n \hat{\rho}(\mathbf{r}_n) (\mathbf{I}_n \hat{J}), \quad (3)$$

где  $\hat{\rho}(\mathbf{r}_n) = \delta(\mathbf{r} - \mathbf{r}_n)$  — оператор плотности дырки на магнитном ионе с номером  $n$ ;  $\mathbf{r}_n$  и  $\mathbf{I}_n$  — координата и оператор спина этого иона;  $\beta$  — константа обменного взаимодействия. Магнитное поле  $\mathbf{H}(\mathbf{r}_n)$ , действующее на ион, совпадает по направлению со спином в месте расположения иона. Согласно (3),

$$\mathbf{H}(\mathbf{r}_n) = \frac{\beta}{3g\mu_B} \langle \psi^*(\mathbf{r}_n) | \hat{J} | \psi(\mathbf{r}_n) \rangle, \quad (4)$$

где  $\mu_B$  — магнетон Бора,  $g$  —  $g$ -фактор магнитного иона,  $\psi(\mathbf{r})$  — волновая функция дырки, которая представляет собой вектор с четырьмя проекциями на блоховские функции в точке  $\mathbf{k}=0$  — центре зоны Бриллюэна. Если такая частица образует поляронное состояние, то ее сохраняющейся величиной будет не спин  $\hat{J}$ , а полный момент  $\hat{\mathbf{F}} = \hat{J} + \hat{\mathbf{L}}$ , где  $\hat{\mathbf{L}}$  — орбитальный момент дырки. Поэтому не равными нулю оказываются все три компоненты поля  $\mathbf{H}(\mathbf{r}_n)$ .

Статистическая сумма магнитного иона в поле  $H$  определяется равенством

$$Z_n = \frac{\text{sh}[(I + 1/2) g\mu_B | \mathbf{H}(\mathbf{r}_n) | / T]}{(2I + 1) \text{sh}[1/2 g\mu_B | \mathbf{H}(\mathbf{r}_n) | / T]}, \quad (5a)$$

его свободная энергия

$$f_n = -T \ln Z_n, \quad (5b)$$

а энергия

$$\epsilon_n = f_n - T \frac{df_n}{dT} = -\frac{1}{Z_n} \frac{d(Z_n)}{d(1/T)} = I g\mu_B | \mathbf{H}(\mathbf{r}_n) | B_I^{\dagger} \left( \frac{I g\mu_B | \mathbf{H}(\mathbf{r}_n) |}{T} \right). \quad (5в)$$

Его средний магнитный момент

$$\mu_n = I g\mu_B \frac{H_x(\mathbf{r}_n)}{| \mathbf{H}(\mathbf{r}_n) |} B_I^{\dagger} \left( \frac{I g\mu_B | \mathbf{H}(\mathbf{r}_n) |}{T} \right). \quad (5г)$$

Здесь

$$B_I^{\dagger}(x) = \left( 1 + \frac{1}{2I} \right) \text{cth} \left( \frac{2I + 1}{2I} x \right) - \text{cth} \left( \frac{x}{2I} \right)$$

— функция Бриллюэна. Поэтому полные свободная энергия, энергия и момент полярона запишутся так:

$$\Phi = K + \sum_n f_n. \quad (6a)$$

$$E = K + \sum_n \epsilon_n, \quad (6a)$$

$$M = \sum_n \mu_n, \quad (6b)$$

где  $K$  — кинетическая энергия дырки

$$K = \int d^3r \langle \psi^*(r) | \mathcal{H}_L^- | \psi(r) \rangle. \quad (7)$$

Энергия (6б) проявляется, например, в акте поглощения света поляроном. Магнитный полярон образуется, если существует такая функция  $\psi_0(r)$ , при которой свободная энергия  $\Phi$  отрицательна ( $r_0$  — параметр волновой функции, соответствующий радиусу образовавшегося полярона).

Будем решать задачу в континуальном приближении, которое справедливо при условии  $Nr_0^3 \gg 1$ , где  $N = N_0x$  — концентрация магнитных ионов,  $N_0$  — концентрация атомов катионной подрешетки,  $x$  — доля узлов этой подрешетки, занятых магнитными ионами. Для кубических кристаллов со структурой цинковой обманки ( $\text{Cd}_{1-x}\text{Mn}_x\text{Te}$ ,  $\text{Hg}_{1-x}\text{Mn}_x\text{Te}$ )  $N_0 = 4/a_0^3$ , где  $a_0$  — период решетки, и ошибка континуального приближения при  $x = 1-5\%$  не превышает 10–20 %.

Тогда суммирование в формулах (6) можно заменить интегрированием по объему:

$$\Phi = K - NT \int d^3r \ln \left\{ \frac{\text{sh}[(1 + 1/2I)\varphi]}{(2I + 1) \text{sh}[\varphi/2I]} \right\}, \quad (8a)$$

$$E = K - NT \int d^3r B_I(\varphi) \varphi, \quad (8b)$$

$$M = I g \mu_B N \int d^3r B_I(\varphi) \frac{H_z}{H}, \quad (8b)$$

где

$$\varphi = I g \mu_B | \mathbf{H}(r) | / T. \quad (8r)$$

В большинстве полупроводников масса тяжелой дырки намного больше массы легкой дырки ( $\gamma \ll 1$ ). В пределе  $\gamma = 0$  вариационная функция должна иметь нулевую проекцию на состояние с массой легкой дырки, т. е. удовлетворять ограничению

$$\hat{\Lambda}^{(1)}(\mathbf{p}) \psi = 0. \quad (9)$$

При таком условии выражение для кинетической энергии не содержит большого положительного члена со знаменателем, пропорциональным массе:

$$K = \int d^3r \left\langle \psi^*(r) \left| \frac{\hat{\mathbf{p}}^2}{2m_h} \hat{\Lambda}^{(1)}(\mathbf{p}) \right| \psi(r) \right\rangle. \quad (10)$$

Для зоны без точки вырождения в качестве простейшей волновой функции естественно было бы взять однопараметрическую функцию вида

$$\psi_0(r) = (2/\pi r_0^3)^{3/4} \exp(-r^2/r_0^2). \quad (11)$$

Однако в зоне с точкой вырождения такая функция не удовлетворяет условию (9). Функцию, удовлетворяющую этому условию, удобно построить в импульсном пространстве

$$\psi_M(\mathbf{p}) = \frac{1}{2^{3/2}\pi^2} \int d^3r R_0(r) \hat{\Lambda}^{(1)}(\mathbf{p}) \chi_M e^{i\mathbf{p}\mathbf{r}}. \quad (12)$$

Здесь  $\chi_M$  — собственный вектор матрицы  $F_s$ :  $F_s \chi_M = M \chi_M$ . Функция  $R_0(r)$  зависит от абсолютной величины  $r$ . Проекция момента на ось квантования принимает значения  $\pm 1/2$ ,  $\pm 3/2$ . В координатном пространстве волновая функция содержит сферические  $s$ - и  $d$ -функции

$$\psi_M(r) = 2 \sum_{l m \sigma} (-1)^{l-3/2+M} \begin{pmatrix} l & 3/2 & l, 3/2 \\ m & \sigma & -M \end{pmatrix} R_l(r) Y_{lm}^*(\theta, \varphi) i \chi_\sigma, \quad (13)$$

где  $Y_{lm}$  — сферические гармоники,  $R_l(r)$  — радиальная часть волновой функции. Орбитальное квантовое число  $l$  принимает только два значения — 0 и 2. Индекс  $\sigma$  пробегает значения  $\pm 1/2, \pm 3/2$ . В качестве коэффициентов в формуле (13) стоят  $3j$ -символы Вигнера. Функция  $R_2(r)$  в (13) связана с  $R_0(r)$  соотношением, следующим из (9),

$$\frac{dR_0}{dr} + \left( \frac{d}{dr} + \frac{3}{r} \right) R_2 = 0. \quad (14)$$

Из уравнения (14) и условия нормировки следует

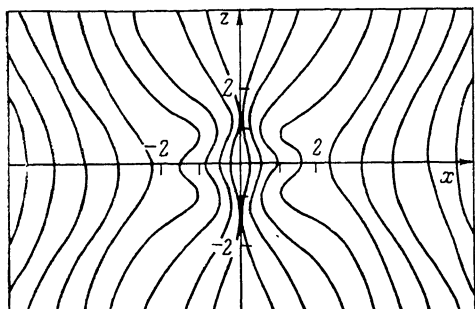


Рис. 1. Картина силовых линий эффективного магнитного поля, создаваемого спином дырки со сложным спектром ( $\gamma = m_l/m_h = 0$ ) в пространстве вокруг дырки.

Представлено сечение поля плоскостью  $y=0$ . По осям отложены координаты в единицах  $r_0$ .

$$\int_0^\infty dr r^2 R_0^2(r) = \int_0^\infty dr r^2 R_2^2(r) = 1/2. \quad (15)$$

Используя равенство (15), кинетическую энергию связанной дырки можно записать в виде

$$K = \frac{\hbar^2}{m_h} \int_0^\infty dr r^2 \left( \frac{dR_0}{dr} \right)^2. \quad (16)$$

Выберем функцию  $R_0(r)$  в наиболее простом виде типа (11)

$$R_0(r) = \sqrt{2\pi} \psi_0(r) \quad (17)$$

и, используя (14), определим функцию  $R_2(r)$ :

$$R_2(r) = \left( \frac{2}{\pi r_0^2} \right)^{3/4} \frac{2\sqrt{2\pi}}{r^3 r_0^2} \int_0^r dr_1 r_1^4 \exp\left(-\frac{r_1^2}{r_0^2}\right). \quad (18)$$

Можно показать, что наиминшей энергии полярона соответствует волновая функция дырки с  $M = \pm 3/2$ , т. е. поле (4), вычисленное на волновой функции  $\psi_{3/2}$ . Силовые линии этого поля, сосчитанные с использованием функций (17), (18) в плоскости  $y=0$ , изображены на рис. 1. Поле аксиально симметрично относительно оси квантования (ось  $OZ$ ). При нулевой температуре спины всех магнитных ионов выстроены вдоль силовых линий. При  $T \neq 0$  К каждый момент выстраивается с вероятностью, пропорциональной функции Бриллюэна. Таким образом, поляризация в объеме полярона оказывается неоднородной. Соответ-

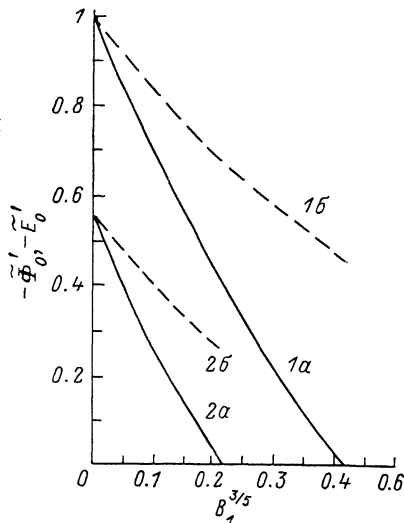


Рис. 2. Зависимость равновесных свободной энергии и энергии ( $\Phi'_0 = \Phi_0/I$  и  $\tilde{E}'_0 = \tilde{E}_0/I$ ), выраженных в единицах  $(I\beta N/2)$ , от параметра  $B_1^{3/5} = (B')^{3/5} \tilde{T}^{3/5}$  [формулы (31)].

Кривые 1 (а, б) соответствуют зоне с  $\gamma=1$ , а кривые 2 (а, б) — зоне с  $\gamma=0$ . Сплошные линии (а) относятся к свободной энергии, а штриховые (б) — к энергии. Видно, что поляронное состояние существует (т. е.  $\Phi < 0$ ) до более высоких температур в зоне с  $\gamma=1$ . Характер зависимости  $\Phi$  и  $E$  от параметров материала и температуры оказывается сходным. Основное различие двух типов зон заключается в различной глубине поляронной ямы при  $T=0$  К. Если в зоне с  $\gamma=1$  глубина равна  $(I\beta N/2)$ , то при сильно различающихся массах  $\gamma=0$  поляронная энергия составляет лишь 56% от этой величины.

ствущая картина поля вблизи частицы с простым спектром представляет собой ряд параллельных оси квантования линий, и все моменты ориентируются вдоль этой оси.

Используя волновые функции (17), (18), вычислим кинетическую энергию дырки (16) и определим поле  $|\mathbf{H}(\mathbf{r})|$ ,  $H_{\#}(\mathbf{r})$ :

$$K = \frac{3}{2} \frac{\hbar^2}{m_{\#} r_0^2}, \quad (19)$$

$$|\mathbf{H}(\mathbf{r})| = \frac{Ta}{g_{\#}^{\mu_B}} \exp \left[ -2 \left( \frac{r}{r_0} \right)^2 \right] \tau_1, \quad (20)$$

так что аргумент функции Бриллюэна  $\varphi$  ( $8r$ ) равен

$$\varphi = Ia \exp \left[ -2 \left( \frac{r}{r_0} \right)^2 \right] \tau_1. \quad (21)$$

Отношение, необходимое при вычислении полного момента, равно

$$H_{\#}/H = \tau_2. \quad (22)$$

Здесь  $\tau_1$  и  $\tau_2$  — коэффициенты, отражающие сложную структуру волновой функции связанной дырки в вырожденной зоне:

$$\tau_1 = \xi/2, \quad \tau_2 = \xi_{\#}/\xi, \quad (23)$$

где

$$\xi = \{ (1 + 2\eta + \eta^2) + t^2 (-6\eta - 2\eta^2 - 4\eta^3 + \eta^4) + t^4 (7\eta^2 + 2\eta^3 + \eta^4) - t^6 (2\eta^3 + \eta^4) \}^{1/2}, \quad (24a)$$

$$\xi_{\#} = 1 + \eta (1 - 3t^2) + \eta^2 t^4 \quad (24b)$$

— величины, зависящие от отношения радиальных частей волновой функции

$$\eta = \frac{R_2(r)}{R_0(r)} = \frac{2}{r^2 r_0^2} \int_0^r dr_1 r_1^4 \exp [r_0^{-2} (r^2 - r_1^2)] \quad (25)$$

и от  $t = \cos \theta$ , где  $\theta$  — угол радиуса-вектора точки с осью  $Z$ . Безразмерный параметр  $a$ , введенный в (20),

$$a = (2/\pi)^{3/2} (\beta/2T r_0^3). \quad (26)$$

В зоне с  $\gamma = 1$  волновая функция содержит лишь  $s$ -волну, так что

$$R_2(r) \equiv 0, \quad R_{\bullet}(r) = \sqrt{4\pi} \psi_0(r). \quad (27)$$

Вычисленная на такой функции кинетическая энергия дырки имеет тот же вид, что и для  $\gamma = 0$ , а в выражении для поля  $|\mathbf{H}(\mathbf{r})|$   $\tau_1 = 1$ . Поле везде параллельно оси  $Z$ , поэтому  $\tau_2 = H_{\#}/H \equiv 1$ . Итак,

$$\tau_1 = \begin{cases} 1; & \gamma = 1, \\ \xi/2; & \gamma = 0, \end{cases} \quad \tau_2 = \begin{cases} 1; & \gamma = 1, \\ \xi_{\#}/\xi; & \gamma = 0. \end{cases} \quad (28)$$

Таким образом, при  $\gamma = 1$  двукратные интегралы в выражениях (8) сводятся к однократным по  $r$ .

Перепишем выражения для свободной энергии, энергии и полного момента полярона (8) для обоих случаев ( $\gamma = 1$  и  $\gamma = 0$ ) через безразмерные величины:

$$\Phi = \frac{\Phi}{\beta N/2} = -I\tau + \frac{4}{3\sqrt{\pi}} \left[ B_1 a^{3/2} + \frac{f(a)}{a} \right], \quad (29a)$$

$$\tilde{E} = \frac{E}{\beta N/2} = -I\tau + \frac{4}{3\sqrt{\pi}} [B_1 a^{3/2} + f'(a)], \quad (29b)$$

$$\tilde{M} = \frac{M}{g_{\#}^{\mu_B}} = \frac{2f_1(a)}{\sqrt{\pi} T a}, \quad (29b)$$

где

$$\tilde{T} = T / (\beta N / 2), \quad (29\text{г})$$

$$B_1 = B' \tilde{T}^{1/2}, \quad (29\text{д})$$

$$B' = 9\pi^{3/2} \hbar^2 / 8m_h \beta N^{1/2}, \quad (29\text{е})$$

$$\tau = 8 \sqrt{\frac{2}{\pi}} \int_0^\infty dr r^2 e^{-2(r/r_0)^2} \int_0^1 dt \tau_1(r, t). \quad (29\text{ж})$$

При  $\gamma = 1$   $\tau = 1$ . Используемые в (29) функции  $f(a)$ ,  $f'(a)$ ,  $f_1(a)$  равны

$$f(a) = \frac{3}{2} \int_0^1 \frac{dy}{y} \left( \ln \frac{1}{y} \right)^{1/2} \int_0^1 dt \ln \left\{ \frac{1 - \exp[-(2I+1)ya\tau_1]}{(2I+1)[1 - \exp(-ya\tau_1)]} \right\}, \quad y = e^{-2(r/r_0)^2}, \quad (30\text{а})$$

$$f'(a) = \frac{3}{2} \int_0^1 dy \left( \ln \frac{1}{y} \right)^{1/2} \int_0^1 dt \left\{ \frac{2I+1}{\exp[(2I+1)ya\tau_1] - 1} - \frac{1}{\exp(ya\tau_1) - 1} \right\} \tau_1, \quad (30\text{б})$$

$$f_1(a) = \int_0^1 \frac{dy}{y} \left( \ln \frac{1}{y} \right)^{1/2} \int_0^1 dt \left\{ I - \frac{1}{\exp(ya\tau_1) - 1} + \frac{2I+1}{\exp[(2I+1)ya\tau_1] - 1} \right\} \tau_2. \quad (30\text{в})$$

Для зоны с  $\gamma = 1$  они совпадают с аналогичными функциями, введенными в [1] для описания полярона, связанного на электроде в невырожденной зоне.

Из условия минимума свободной энергии по  $a$  найдем равновесные термодинамические характеристики полярона  $\tilde{\Phi}_0$ ,  $\tilde{E}_0$ ,  $\tilde{M}_0$ :

$$B_1^{3/2} = h_1/a, \quad (31\text{а})$$

$$\tilde{\Phi}_0 = -I\tau + \frac{4}{3\sqrt{\pi}} h_2 B_1^{3/2}, \quad (31\text{б})$$

$$\tilde{E}_0 = -I\tau + \frac{4}{3\sqrt{\pi}} h_3 B_1^{3/2}, \quad (31\text{в})$$

$$\tilde{M}_0 = \frac{2}{\sqrt{\pi}} \frac{f_1}{a} \frac{1}{\tilde{T}}. \quad (31\text{г})$$

Здесь

$$h_1(a) = (3/2)^{3/2} [f(a) - f'(a)a]^{3/2}, \quad (32\text{а})$$

$$h_2(a) = h_1^{2/3} + f(a)/h_1, \quad (32\text{б})$$

$$h_3(a) = h_1^{2/3} + f'(a)a/h_1. \quad (32\text{в})$$

Для заданного параметра  $a$  и конкретных параметров материала  $B'$  из (31а) можно определить температуру  $\tilde{T}$  и оптимальный размер полярона в единицах  $N^{-1/2}$ :

$$\tilde{T} = (B')^{2/3} (h_1/a)^{3/2}, \quad (33)$$

$$r_0 N^{1/2} = (B'/\tilde{T})^{1/2} h_1^{-1/2} (2/\pi)^{1/2}. \quad (34)$$

На рис. 2 приведены зависимости  $\tilde{\Phi}_0$  и  $\tilde{E}_0$  от  $B_1^{3/2} = (B')^{3/2} \tilde{T}^{3/2}$ . Кривые 1а, 1б соответствуют простой зоне с  $\gamma = 1$ , а кривые 2а, 2б — вырожденной зоне с  $\gamma = 0$ . Штриховые линии относятся к энергии, а сплошные линии — к свободной энергии. Поляронное состояние частицы существует до тех пор, пока его свободная энергия отрицательна. Как и следовало ожидать, более низкую свободную энергию и энергию имеет полярон в зоне с  $\gamma = 1$ , поскольку в этом случае на волновую функцию не налагаются никакие дополнительные ограничения. Так, при  $T = 0$  К

$$\tau = \frac{\tilde{\Phi}_0(\gamma = 0)}{\tilde{\Phi}_0(\gamma = 1)} = \frac{\tilde{E}_0(\gamma = 0)}{\tilde{E}_0(\gamma = 1)} \simeq 0.56. \quad (35)$$

Это соотношение приблизительно сохраняется при любых температурах, поскольку зависимости  $\tilde{\Phi}_0$  и  $\tilde{E}_0$  от  $B_1^{3/5}$  почти линейные [формулы (31)] с коэф-

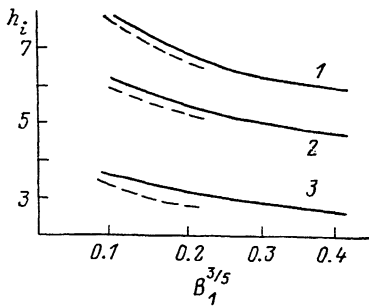


Рис. 3. Зависимость параметров  $h_1, h_2, h_3$  [формулы (32)] от  $B_1^{3/5}$  (1, 2, 3) соответственно. Сплошные линии —  $\gamma=1$ , штриховые —  $\gamma=0$ . Видно, что зависимость  $h_i$  от  $B_1^{3/5}$  незначительная и различие между случаями  $\gamma=0$  и  $\gamma=1$  мало.

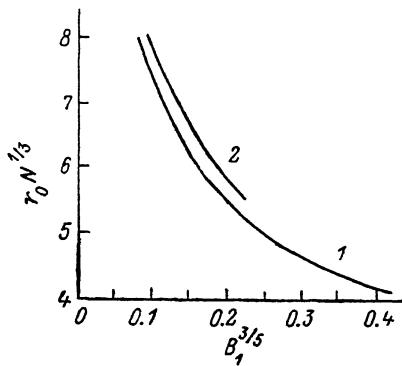


Рис. 4. Оптимальный радиус полярона  $r_0$  в единицах периода решетки как функция  $B_1^{3/5}$  ( $r_0/a_0 \tilde{T}^{-1/5}$ ).  $\gamma$ : 1 — 1, 2 — 0. Кривые обрываются при значении  $B_1^{3/5}$ , при котором исчезает соответствующее магнитополяронное состояние.

фициентами  $h_2$  и  $h_3$ , фактически не зависящими от отношения масс (рис. 3). В сложной зоне разрушение поляронного состояния происходит при более низкой температуре, чем в простой зоне. Отношение температур перехода равно

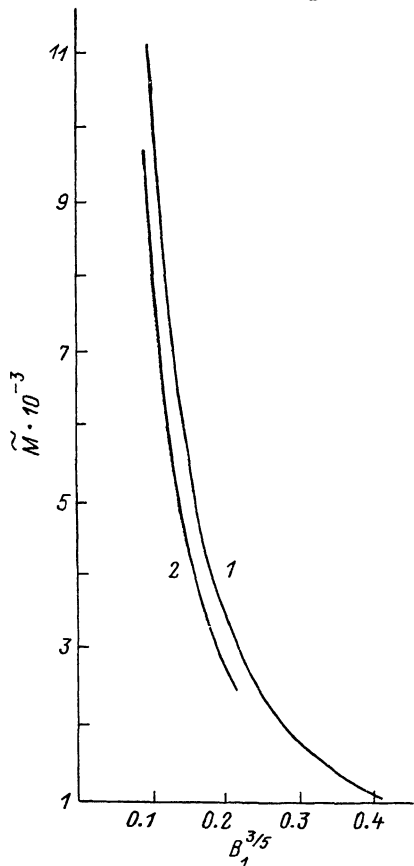
$$\tilde{T}_p'(\gamma=0)/\tilde{T}_p'(\gamma=1) \simeq (0.56)^{3/5} \simeq 0.2. \quad (36)$$

На рис. 4 изображен оптимальный радиус полярона ( $r_0/a_0$ ) как функция  $B_1^{3/5}$ . Учитывая, что  $h_1(a)$  почти не зависит от  $B_1$ , получаем, что  $(r_0 N^{-1/3}) \sim \tilde{T}^{-1/5}$ . Из рисунка видно, что радиус полярона в сложной зоне незначительно (на 2—3%) превышает радиус полярона в простой зоне. Полный момент в обоих случаях также фактически одинаков. Небольшое уменьшение момента полярона в сложной зоне по сравнению с простой легко понять, зная, что в этом случае не все магнитные ионы поляризуются дыркой в одном направлении.

Из рис. 5 видно, что в области существования магнитного полярона его полный магнитный момент достаточно велик  $M/g\mu_B \sim \beta N I^2/T \simeq 10^3$ . Поэтому во внешнем магнитном поле такое образование можно рассматривать как частицу с классическим моментом  $M$ . Средний магнитный момент единицы объема равен

$$\mathcal{M} = pM [\text{cth}(MH/T) - T/MH]. \quad (37)$$

Рис. 5. Полный момент магнитного полярона  $M$  в единицах ( $g\mu_B$ ) как функция  $B_1^{3/5}$ .  $\gamma$ : 1 — 1, 2 — 0.



Здесь  $p$  — концентрация свободных дырок. Из (37) следует, что магнитные моменты поляронов выстраиваются вдоль внешнего поля при его величине  $H \geq T/M \sim T^2/N\beta I^2 g\mu_B$ , малой по сравнению с магнитным полем  $H \sim T/g\mu_B I$ , при котором происходит разрушение полярона.

Как видно из формулы (33), температура разрушения поляронного состояния оказывается пропорциональной доле магнитных ионов в степени  $3/2$ :

$$T_p = x^{3/2} \frac{\beta N_0}{2} \left[ \frac{(B_1)_p}{9\pi^{3/2} \hbar^2 / 8m_h N_0^{1/2}} \right]^{2/3}, \quad (38)$$

где  $(B_1)_p$  — критическое значение  $B_1$ . Оценим величину  $T_p$  для полумагнитного полупроводника  $Zn_{1-x}Mn_xSe$ , в котором довольно большая величина обменного интеграла  $\beta N_0 = 1.22$  эВ. Эффективная масса в  $ZnSe$   $m_h = 0.75 m_0$ , где  $m_0$  — масса свободного электрона, постоянная решетки  $a_0 = 5.67 \text{ \AA}$  ( $N_0 = 4/a_0^3$ ). Из (38) следует, что при  $x = 0.05$  величина  $T_p$  лежит между 1 ( $\gamma = 1$ ) и 0.2 К ( $\gamma = 0$ ). Таким образом, автолокализованное состояние свободного магнитного полярона может быть обнаружено только при очень низких температурах в отличие от связанного магнитного полярона, когда внешний потенциал приводит к локализации волновой функции дырки [4]. Температура, при которой разрушается свободный магнитный полярон, образованный дыркой, приблизительно на 1—2 порядка превышает соответствующую величину для полярона, который образует электрон [5].

Мы рассмотрели два предельных случая  $\gamma = 0$  и  $\gamma = 1$ . Естественно ожидать, что для всех промежуточных значений параметра отношения масс  $0 < \gamma < 1$  описанные выше закономерности сохранятся. Радиус полярона и его полный момент для любого  $\gamma$  окажутся близки, а его свободная энергия и энергия будут уменьшаться с ростом  $\gamma$ . Температура перехода в поляронное состояние будет монотонно возрастать при увеличении  $\gamma$  от 0 до 1.

#### Л и т е р а т у р а

- [1] Кривоглаз М. А., Трущенко А. А. — ФТТ, 1969, т. 11, в. 11, с. 3119—3123.
- [2] Кривоглаз М. А. — УФН, 1973, т. 111, в. 4, с. 617—654.
- [3] Luttinger J. H. — Phys. Rev. B, 1956, v. 102, p. 1030.
- [4] Гельмонт Б. Л., Меркулов И. А., Берковская Ю. Ф., Вахабова Э. М. — В кн.: Матер. VII Всес. симп. Львов, 1986, ч. 2, с. 9—10.
- [5] Рябченко С. М., Семенов Ю. Г. — ЖЭТФ, 1983, т. 84, в. 4, с. 1419.

Физико-технический институт  
им. А. Ф. Иоффе АН СССР  
Ленинград

Получена 6.08.1987  
Принята к печати 5.11.1987